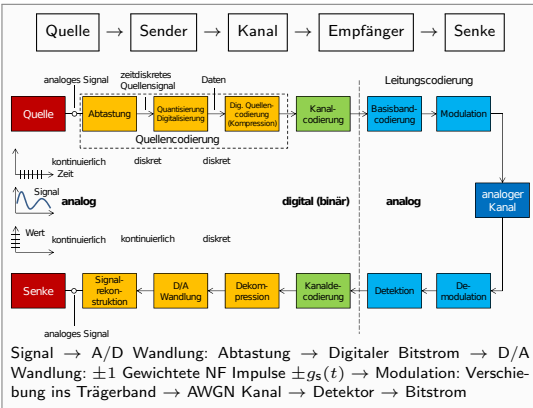


Allgemeines

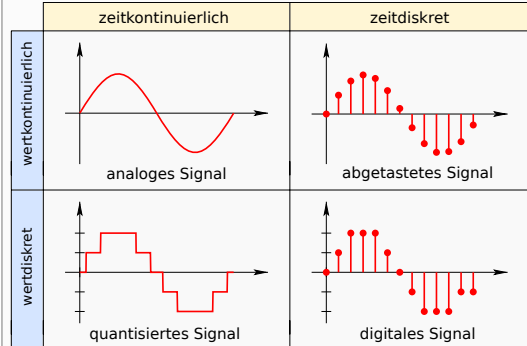


1. Signale

1.1. Arten von Signalen

deterministisch: durch Funktionen beschreibbar, enthalten kein Nachricht.

stochastisch: zufälliger Verlauf, überträgt Information



Vorteile digitales Signal: Kompression, Verschlüsselung, Fehlerkorrektur

1.2. Sonstiges

Autokorrelation $r_V(\tau) \stackrel{\mathcal{F}}{\longleftrightarrow} S_V(f)$ Leistungsdichtespektrum

$x(t), y(t)$ sind orthogonal, falls $\int_{-\infty}^{\infty} x(t)y(t) dt = 0$

Kompl. Fehlerfunktion $\text{erfc}(x) = 1 - \text{erf}(x) = \frac{2}{\sqrt{\pi}} \int_x^{\infty} e^{-\tau^2} d\tau$

2. Abtastung von Signalen

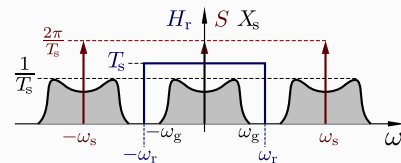
Abtasttheorem

Signal $x(t)$, Abtastfunktion $s(t) = T_A \sum \delta(t - nT_A)$, Tiefpassfilter $h_r(t)$

Vorgang Zeitbereich Frequenzbereich

Abtasten: $x_s(t) = s(t) \cdot x(t)$ $X_s(\omega) = S(\omega) * X(\omega)$

Rekonstr. $x_r(t) = h_r(t) * x_s(t)$ $X_r(\omega) = H_r(\omega) \cdot X_s(\omega)$



$$\omega_s = \frac{2\pi}{T_s} \geq 2\omega_g \quad \omega_g \leq \omega_r \leq \omega_s - \omega_g$$

Abtastoperator: $\mathbb{A}\{x(t)\} = x(t) \cdot T_A \sum_{n=-\infty}^{\infty} \delta(t - nT_A)$

Rekonstruktion: $x_r(t) = T_A \sum_{n=-\infty}^{\infty} x(nT_A) \cdot h_r(t - nT_A)$

Abbruchfehler: $|\Delta| = \left| \frac{x_r(t) - x(t)}{x(t)} \right|$

Periodisierungsoperator: $\mathbb{P}\{X(f)\} = X(f) * \sum_{n=-\infty}^{\infty} \delta(f - \frac{n}{T_A})$

Ideale Abtastung: $\mathbb{A}\{x(t)\} \stackrel{f_A=1/T_A}{\bullet} \mathbb{P}\{X(f)\}$

3. Quantisierung und Digitalisierung

wertkontinuierliche Sequenz von (zeitdiskreten) Abtastwerten wird abgebildet auf wertdiskrete Sequenz.

$$x(nT_A) \text{ mit } n \in \mathbb{Z} \xrightarrow{x_Q} x_Q(nT_A)$$

3.1. Allgemeines

Quantisierungsfunktion $\underline{x}_Q = Q(\underline{x})$

Bildet Vektoren $\underline{x} \in \mathbb{R}^N$ auf eine Menge S ab mit $|S| = M$

Man benötigt $m = \lceil \log_2 M \rceil$ bits um \underline{x}_Q zu repräsentieren.

Intervall $I_i = [g_i, g_{i+1})$ enthält Reprodwert s_i

Skalare Quantisierer: $N = 1$ Vektor Quantisierer: $N > 1$

Quantisierungsfehler: $q(\underline{x}) = \underline{x}_Q - \underline{x} = s_i - x$

(besteht aus granularem Rauschen und Überlastungsrauschen)

3.2. Skalare Quantisierung $N = 1$

m Bits für einen ($N = 1$) Abtastwert

Quantisierungsfehler $q(x) = x_Q - x = x_Q(nT_A) - x(nT_A)$

Quantisierungsfehlerleistung:

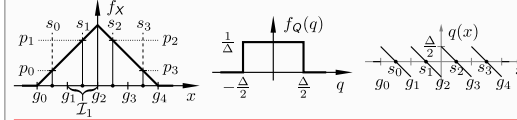
$$P_Q = \int q(x)^2 f_X(x) dx = \sum_{s_i} \int_{g_i}^{g_{i+1}} (s_i - x)^2 f_X(x) dx$$

Optimales s_i (setze $\frac{\partial P_Q}{\partial s_i} \stackrel{!}{=} 0$):

$$s_i = \frac{\int_{g_i}^{g_{i+1}} x f_X(x) dx}{\int_{g_i}^{g_{i+1}} f_X(x) dx} = E[X | x \in I_i]$$

3.3. Lineare Quantisierung

Spezialfall der skalaren Quantisierung mit gleich großen Quantisierungsintervallen Δ .



Es gilt für PDF: $\int_{-\infty}^{\infty} f_X(x) dx \stackrel{!}{=} 1$

Gleich große Quantisierungsintervalle $I_i = [g_i, g_{i+1})$ mit Breite Δ

$$\Delta = \frac{x_{\max} - x_{\min}}{2^m} = g_{i+1} - g_i$$

Reproduktionswerte s_i in der Mitte der Intervalle (midriser)

$$s_i = \frac{2i - M + 1}{2} \Delta$$

Auftrittswahrscheinlichkeit p_i der Quantisierungsstufe s_i

$$p_i = \int_{g_i}^{g_{i+1}} f_X(x) dx$$

Signalleistung $P_X = E[X^2] = \int_{x_{\min}}^{x_{\max}} x^2 f_X(x) dx$

Gleichverteilung: $P_X = \frac{x_{\max}^2}{3}$ Sinusförmig: $P_X = \frac{x_{\max}^2}{2}$

Fehlerleistung $P_Q = E[Q^2] = \int_{-\infty}^{\infty} q(x)^2 f_Q(q) dq$

Bei gleichverteiltem Quantisierungsfehler: $P_Q = \frac{\Delta^2}{12}$

Signal-Noise-Ratio: $\text{SNR}_Q = \frac{P_X}{P_Q}$

$$\text{SNR}_Q = \frac{P_X}{P_Q} = \begin{cases} \frac{x_{\max}^2/3}{\Delta^2/12} = 2^{2m} & \text{bei gleichverteiltem Signal} \\ \frac{x_{\max}^2/2}{\Delta^2/12} = \frac{3}{2} 2^{2m} & \text{bei sinusförmigem Signal} \end{cases}$$

Signal zu Quantisierungsrauschabstand $\text{SNR}_{Q,dB}$

$$\text{SNR}_{Q,dB} = 10 \log_{10}(\text{SNR}_Q) \text{ dB} = m \cdot 6 \text{ dB}$$

(CD, 16 bit : 96 dB)

3.4. Nichtlineare Quantisierung

A-law-Kennlinie (Europa) und μ -law-Kennlinie (USA)

$$C(x) = \begin{cases} \frac{1}{1+\ln(A)} \cdot |x| \cdot \text{sgn}(x) & 0 \leq |x| \leq \frac{x_{\max}}{A} \\ \frac{1+\ln(\frac{A \cdot |x|}{x_{\max}})}{1+\ln(A)} \cdot |x| \cdot \text{sgn}(x) & \text{sonst} \end{cases}$$

$A = 87.5 = 24 \text{ dB}$

3.4.1. Pulse Coded Modulation PCM

Abtastung + skalare Quantisierung: $\text{SNR}_Q = \frac{P_X}{P_Q} = 2^{2m}$

3.4.2. Differentielle PCM (DPCM)

Differenz zu vorhergesagtem Wert wird quantisiert. Prädiktion 0.ter Ordnung: Kann bei schnellen, großen Änderungen nicht mehr folgen. Gut geeignet für Signale mit hoher zeitlicher Konzentration → schmales Spektrum.

3.4.3. Delta-Modulation (Hohe Überabtastung)

1-Bit-Quantisierung: $e_Q(nT_S) = \pm \Delta$

Kann den Wert nicht Konstant halten, Tiefpass am Empfänger nötig

3.4.4. Sigma-Delta-Modulator

Σ: Summe/Integral Δ: 1-bit-Quantisierer

3.5. Optimale skalare Quantisierung

Lloyd-Max-Algorithmus

- Wähle Startwerte für alle $s_i^{(0)}$
- Intervallgrenzen: $g_i^{(t+1)} = \frac{s_i^{(t)} + s_{i-1}^{(t)}}{2} \quad i = 1, \dots, M-1$
- Reprod. Werte: $s_i^{(t+1)} = E[X | X \in I_i] \quad i = 0, \dots, M-1$
- Fehlerleistung $P_Q^{(t+1)} = E[Q^2]$ mit $s_i^{(t+1)}$ und $g_i^{(t+1)}$
- Berechne relative Änderung $\delta^{(t)} = \frac{P_Q^{(t+1)} - P_Q^{(t)}}{P_Q^{(t)}}$

3.6. Informationsgehalt und Entropie

Info vom Symbol s_i : $I_i = -\log_2 P(X_Q = s_i) = -\log_2 p_i$

Entropie von X_Q : $H(X_Q) = E[I] = -\sum_{i=0}^{M-1} p_i \log_2 p_i \quad \left[\frac{\text{bit}}{\text{Symbol}} \right]$

Mittlere Codewortlänge $\bar{l} = E[l] = \sum_{i=0}^{M-1} p_i l_i$

Die minimale mittlere Codewortlänge $\bar{l} \geq H(X_Q)$

4. Codierung

Komprimierung: Falls Bitstrom nicht gleichverteilt und mit Gedächtnis

Maximale Kompression: Bits gleichverteilt, ohne Gedächtnis

Entropie: kein Code kann für Z eine geringere mittlere Codewortlänge finden als $H(z) = \sum P(z) \text{ld} \left(\frac{1}{P(z)} \right)$

4.1. Kompression

Kleiner Verlust bei unkodierten Bitstrom. Großer Gewinn bei Kodierung. Bsp: Feste Blocklänge mit Statusbit am Anfang: Kodiert/Unkodiert

4.2. Digitale Quellencodierung (Kompression)

Arten von Kodierern:

Verteilung Bekannt: Huffman Code, Morse, Arithmetic

Universal: Lempel-Ziv (ZIP), PPM, BWT(bzip)

Transform: Fouriertransformation (JPG, GIF, PNG, MP3)

4.3. Kanalcodierung

Single-Parity-Check: 1 Bit pro 2 bit zusätzlich: $\text{XOR}(x_1, x_2)$

Daraus ergibt sich eine Effizienz von $\frac{2}{3}$

FEC: Forward Error Correction liefert Fehlererkennung und Korrektur.

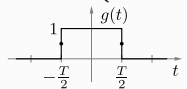
Beispiele: Paritätsbit, CRC, Reed-Solomon-Codes, LDPC, Polar Codes

5. Basisbandübertragung

5.1. Impulsformen

5.1.1. Rechteckimpuls $\text{rect}\left(\frac{t}{T}\right)$:

$$g_{\text{NRZ}}(t) = \begin{cases} 1, & \text{für } |t| < \frac{T}{2} \\ 0, & \text{sonst} \end{cases}$$



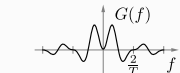
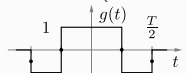
$$G_{\text{NRZ}}(f) = T \text{sinc}(fT)$$



5.1.2. Manchester Impuls:

$$g(t) = -g_{\text{NRZ}}(t) + 2g_{\text{NRZ}}(2t) = \begin{cases} 1, & \text{für } |t| < \frac{T}{4} \\ 0, & \text{für } |t| = \frac{T}{4} \\ -1, & \text{für } \frac{T}{4} < |t| < \frac{T}{2} \\ -\frac{1}{2}, & \text{für } |t| = \frac{T}{2} \\ 0, & \text{sonst} \end{cases}$$

$$G(f) = T \left(\frac{\sin(\pi f \frac{T}{2})}{\pi f \frac{T}{2}} - \frac{\sin(\pi f T)}{\pi f T} \right)$$

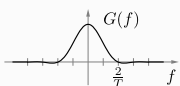
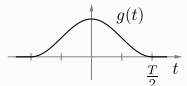


Mittelwert Null, kein Gleichanteil

5.1.3. \cos^2 -Impuls:

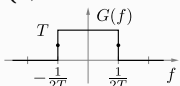
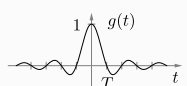
$$g(t) = \begin{cases} \cos^2\left(\frac{\pi t}{T}\right), & \text{für } |t| < \frac{T}{2} \\ 0, & \text{sonst} \end{cases}$$

$$G(f) = \frac{T}{2} \frac{\cos(\pi f \frac{T}{2})}{1 - (fT)^2} \frac{\sin(\pi f \frac{T}{2})}{\pi f \frac{T}{2}}$$



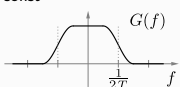
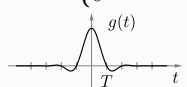
5.1.4. sinc-Impuls: $\text{sinc}(x) = \text{si}(\pi x)$

$$g(t) = \frac{\sin(\pi \frac{t}{T})}{\pi \frac{t}{T}} = \text{sinc}\left(\frac{t}{T}\right) \quad G(f) = \begin{cases} T, & \text{für } |f| < \frac{1}{2T} \\ \frac{T}{2}, & \text{für } |f| = \frac{1}{2T} \\ 0, & \text{sonst} \end{cases}$$



5.1.5. „Nyquist roll-off“-Impuls:

$$g(t) = \frac{\sin(\pi \frac{t}{T})}{\pi \frac{t}{T}} \cdot \frac{\cos(\alpha \pi \frac{t}{T})}{1 - 4\alpha^2 (\frac{t}{T})^2} \quad \text{für } |f| \leq \frac{1-\alpha}{2T} \quad \text{für } \frac{1-\alpha}{2T} < |f| \leq \frac{1+\alpha}{2T}$$

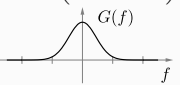
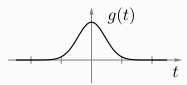


5.1.6. Root-Raised-Cosine:

Meist genutzter Filter (Wurzel-Nyquist)

5.1.7. Gauß-Impuls:

$$g(t) = \exp\left[-\pi \left(\frac{t}{\Delta t}\right)^2\right] \quad G(f) = \Delta t \cdot \exp(-\pi (\Delta t f)^2) = \frac{1}{\Delta f} \exp\left(-\pi \left(\frac{f}{\Delta f}\right)^2\right)$$



5.2. Energie wichtiger Impulse mit Amplitude A

$$E_S \{\text{rect}(\frac{t}{\alpha T})\} = A^2 \alpha |T| \quad E_S \{\text{tri}(\frac{t}{\alpha T})\} = \frac{2}{3} \alpha |T| A^2 \\ E_S \{\text{sinc}(\frac{t}{\alpha T})\} = A^2 |\alpha| |T| \quad \text{Rampe 0 bis } \alpha T: \frac{\alpha}{3} |T| A^2$$

5.3. Bandbreite

Absolut: Alle positiven Frequenzen
 B₉₉ Bandbreite: 99% der Signalenergie bzw. -leistung liegen in diesem Bandbreitenbereich (geht auch mit 90%)
 B_{6dB} Bandbreite: Bis Hälfte des Spektrums G(f)
 B_{3dB} Bandbreite: Bis Hälfte der Leistung
 B_N Äquivalente Rauschbandbreite

Bandbreiteneffizienz (Effizienz des Modulationsverfahrens):

$$\eta = \frac{\text{Übertragungsrate}}{\text{NF Bandbreite}} \quad [\eta] = \frac{\text{bit/s}}{\text{Hz}} \\ \text{Beispiel GSM: } \eta = 0.88 \frac{\text{bit/s}}{\text{Hz}}, \quad \text{LTE: } \eta = \frac{3 \text{Gbit/s}}{100 \text{MHz}} = 30 \frac{\text{bit/s}}{\text{Hz}}$$

5.4. Frequenz-Zeit-Unschärfe

Ein Signal kann nicht gleichzeitig hart Band- und Zeitbegrenzt sein!
 Unschärfe: $T_D \cdot B_0 \geq \frac{1}{4\pi}$

Nach Trägheitsradius definiert. (Integral $\int_{-\infty}^{\infty} t^2 g_s^2 dt$ konvergiert)

Schrankenfunktion für Spektrum:

Falls das Zeitintegral in der n-ten Ableitung das erste mal einen Sprung aufweist, gilt für das Betragsspektrum:

$$|X(f)| \propto \frac{1}{|f|^{n+1}} \quad \text{für große } |f|$$

Anmerkung: n kann auch negativ sein! Bsp: $\delta(t) \Rightarrow n = -1$

5.5. Nyquist Bedingungen

5.5.1. 1. Bedingung: Kein Symbolübersprechen

$$\text{Impulsantwort } g[nT] = \begin{cases} 1 & n = 0 \\ 0 & n \neq 0 \end{cases}$$

Fordert maximale vertikale Öffnung des Auges

Impuls Nullstellen: $\pm 1T, \pm 2T, \pm 3T, \dots$

$$\text{Zeitbereich: } A\{g(t)\} = T \sum_{n=-\infty}^{\infty} g(nT) \cdot \delta(t - nT) = T \cdot \delta(t)$$

$$\text{Frequenzbereich: } P\{G(f)\} = \sum_{k=-\infty}^{\infty} G(f - \frac{k}{T}) = T$$

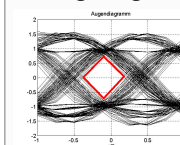
5.5.2. 2. Bedingung: Verschärfung 1. Bedingung

$$\text{Impulsantwort } g\left[k\frac{T}{2}\right] = \begin{cases} 1 & k = 0 \\ g\left[\frac{T}{2}\right] & k = \pm 1 \\ 0 & \text{sonst} \end{cases}$$

Fordert maximale horizontale Öffnung des Auges

Zusätzliche Impuls Nullstellen: $\pm 1.5T, \pm 2.5T, \pm 3.5T, \dots$

5.6. Augendiagramm



Bestimmung des Augendiagramm (4 Durchläufe): Für die Bereiche $[-T_A, 0]$ und $[0, T_A]$ werden die relevanten Pulse so überlagert (positiv oder negativ), dass das Auge minimal wird. Daraus ergibt sich die Überlagerungstabelle.

Beispiel mit

$$D_{-2} \quad D_{-1} \quad D_1 \quad | \quad D_{-1} \quad D_1 \quad D_2$$

$$+1 \quad -1 \quad -1 \quad | \quad -1 \quad -1 \quad +1$$

1 Vor- und 2 Nachläufern:

$$-1 \quad +1 \quad +1 \quad | \quad +1 \quad +1 \quad -1$$

Vertikale Öffnung A_v :

Maß für Empfindlichkeit gegenüber Rauschen

Horizontale Öffnung A_h : Maß für Empfindlichkeit gegenüber Schwankungen des Abtastzeitpunkts

5.7. Korrelation

Ein Maß für die Ähnlichkeit zweier Signale $x(t), y(t)$ bei Verschiebung.

$$\text{Korrelationskoeffizient } \rho_{xy} = \frac{E_{xy}}{\sqrt{E_x \cdot E_y}} = \frac{\varphi_{xy}(0)}{\sqrt{\varphi_x(0) \cdot \varphi_y(0)}}$$

Es gilt: Korreliert $\rho = 1$, Orthogonal $\rho = 0$, Antipodisch $\rho = -1$

Kreuzkorrelationsfkt. zwischen zueinander verschobenen Signalen:

$$\varphi_{xy}(\tau) = \varphi_{yx}(-\tau) = \int_{-\infty}^{\infty} x(t) \cdot y(t + \tau) dt$$

Zusammenhang mit Faltung: $\varphi_{xy}(\tau) = x(-t) * y(t)|_{t=\tau}$

Autokorrelationsfkt. AKF ist Kreuzkorrelation mit sich selbst ($y = x$):

$$\varphi_x(\tau) = \varphi_{xx}(\tau) \quad \text{Anwendung: Erkennen von Perioden}$$

Energiebeziehung: $E_{x,y} = \rho_{x,y} \sqrt{E_x E_y}$ mit

$$\text{Energie } E_x = \int_{-\infty}^{\infty} x(t)^2 dt = \int_{-\infty}^{\infty} \Phi_x df = \varphi_{xx}(0) \quad (\text{endl. Sig.})$$

$$\text{Leistung } P_x = E[X^2] = \frac{1}{2T} \int_{-T}^T x(t)^2 dt \quad (\text{period. Sig.})$$

Leistungsdichtespektrum $\Phi_X(f)$ ist definiert als $\varphi_x \circledast \Phi(f)$

Periodische Signale: $\overline{\varphi_{xy}}(\tau) = \frac{1}{2T} \int_{-T}^T x(t)y(t + \tau) dt$

Stochastische Signale: $\varphi_{XY}(\tau) = E[X(t) \cdot Y(t + \tau)]$

$$\rho_{X,Y} = \frac{\text{Cov}[X,Y]}{\sigma_X \sigma_Y}$$

$$\int_{-\infty}^{\infty} \Phi_X(f) df = \varphi_X(0) = \text{Var}[X] + E[X]^2 = \sigma_X^2 + \mu_X^2$$

6. Analoger Übertragungskanal

$$r(t) = h(t) * s(t) \quad R(f) = H(f) \cdot S(f)$$

$$\text{Verzerrungsfrei: } h(t) = h_0 \delta(t - t_0) \quad H(f) = h_0 e^{-i2\pi f t_0}$$

6.1. AWGN – Additive White Gaussian Noise

Weißes Rauschen N enthält alle Frequenzen. Thermisch: $N_0 = k_B T$

$$\text{PDF} \quad f_N(n) = \frac{1}{\sqrt{2\pi} \cdot \sigma} e^{-\frac{n^2}{2\sigma^2}}$$

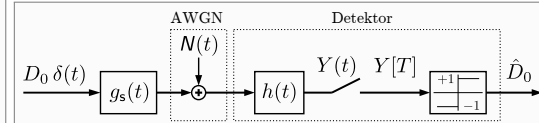
$$\text{LDS:} \quad \Phi_N(f) := \frac{N_0}{2} \quad \text{für } f < 10 \text{ GHz}$$

$$\text{AKF:} \quad \varphi_n(\tau) = \frac{N_0}{2} \delta(\tau) \quad \Rightarrow 0 \text{ für } \tau \neq 0$$

$$\text{Leistung} \quad P_N = \int \Phi_N df = \sigma^2 = B \cdot N_0$$

Äquivalente Rauschbandbreite B_N : Bandbreite eines idealen Tiefpasses, der die selbe Rauschleistung P_N erzeugt, wie das reale Tiefpassfiltersystem.

7. Detektion im Rauschen



gewähltes Bit \hat{D}_n eines tatsächlichen Bits $D_n = \{1, 0\}$

Ziel: $P(\hat{D}_n \neq D_n)$ soll minimal sein.

Lösung: maximiere SNR zum Abtastzeitpunkt nT

Rauschleistung nach Filterung mit $h(t)$:

$$P_N = \int_{-\infty}^{\infty} \Phi_N |H(f)|^2 df = \frac{N_0}{2} \int_{-\infty}^{\infty} |H(f)|^2 df$$

$$\rightarrow \text{mit Satz von Parseval gilt: } P_N = \frac{N_0}{2} \int_{-\infty}^{\infty} |h(t)|^2 dt$$

momentane Signalleistung: $P_s(t) = |y_s(t)|^2$

$$\text{mittlere Signalleistung: } P_s = \lim_{T \rightarrow \infty} \frac{1}{2T} \int_{-T}^T |y_s(t)|^2 dt$$

7.1. Matched Filter

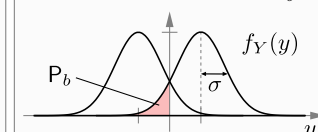
Signalangepasster Filter damit Signal im AWGN Kanal zum Abtastzeitpunkt die maximale SNR hat. Impulsantwort des Matched Filters:

$$h_{\text{MF}}(t) = K \cdot g_s^*(T - t) \quad (\text{entspricht gewendetem Sendepuls})$$

$$H_{\text{MF}}(f) = K \cdot G_s^*(f) \cdot e^{-j2\pi f T}$$

$$\text{Maximum SNR: } \frac{P_s}{P_N} = \frac{2E_s}{N_0}$$

7.2. Fehlerwahrscheinlichkeit P_b



$$P_b = \frac{1}{\sqrt{2\pi}} \cdot \int_{z_0}^{\infty} e^{-\frac{z^2}{2}} dz = Q(z_0) = \frac{1}{2} \text{erfc}\left(\sqrt{\frac{1}{2} \text{SNR}}\right)$$

Substituiere z_0

$$\text{Für matched Filter: } P_b = Q(\sqrt{P_s/P_n}) = Q(\sqrt{Y_s^2/\sigma_N^2}) = Q(\sqrt{2E_s/N_0}) = Q(\sqrt{\text{SNR}})$$

7.3. Zeitdiskreter AWGN-Kanal

$$\sigma^2 = \frac{\sigma_N^2}{A^2} = \frac{N_0}{2E_s} = \frac{1}{\text{SNR}}$$

7.4. Unabhängiges (unkorreliertes) Rauschen

Falls die erste Nyquistbedingung erfüllt und maximale SNR:

\Rightarrow Die Folge abgetasteter Rauschteile ist unabhängig!

8. Lineare, digitale Modulation

8.1. Allgemeines

Dimensionen: Phase (sin/cos), Polarisation (hori/vert)
Die meisten Medien übertragen um eine Trägerfrequenz f_0 (Bandpass)

Bandpass-Sendesignal (moduliert mit $S(t)$):
 $\tilde{S}(t) = A(t)\sqrt{2} \cos(2\pi(f_0 + F(t))t + \varphi_0(t))$

Inphasenteil (Cosinusträger) $S_I(t) = A(t) \cos(\varphi'(t))$
Quadraturanteil (Sinusträger) $S_Q(t) = A(t) \sin(\varphi'(t))$

Amplitude: $|A(t)| = \sqrt{S_I^2(t) + S_Q^2(t)}$

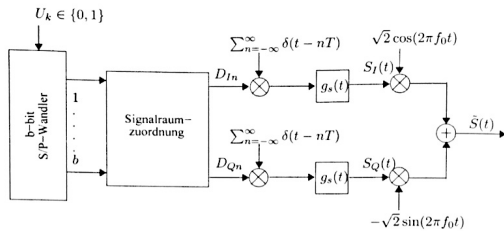
Phase: $\varphi'(t) = \arctan \frac{S_Q(t)}{S_I(t)}$

Mittl. Energie pro Symbol: $\bar{E}_S = E[D_{I_n}^2 + D_{Q_n}^2] \cdot \int_0^T |g_s(t)|^2 dt$
 $\underbrace{\hspace{10em}}_{E_{g_s}}$

Energie je Bit: $E_{\text{bit}} = \frac{\bar{E}_S}{\# \text{ Bits}}$

Anfälligkeit gegenüber Rauschen: d_{min}

8.2. Modulation und Signalraumzuordnung



Moduliertes Sendesignal
 $\tilde{S}(t) = S_I(t)\sqrt{2} \cos(2\pi f_0 t) - S_Q(t)\sqrt{2} \sin(2\pi f_0 t)$

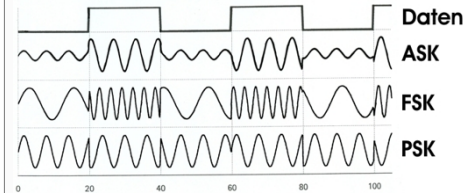
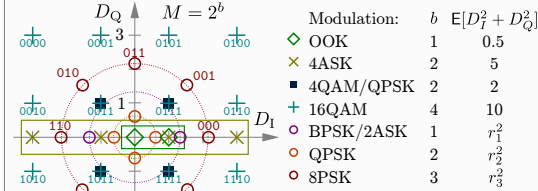
$$= \begin{bmatrix} \sum_{n=-\infty}^{\infty} D_{I_n} g_s(t-nT) \\ - \sum_{n=-\infty}^{\infty} D_{Q_n} g_s(t-nT) \end{bmatrix} \begin{bmatrix} \sqrt{2} \cos(2\pi f_0 t) \\ \sqrt{2} \sin(2\pi f_0 t) \end{bmatrix}$$

8.3. Modulationsarten

linear: AM $A(t)$, ASK, PSK

nicht linear: FM $F(t)$, PM $\varphi(t)$, FSK

Probleme: Nichtlineare Verstärker verzerren Raumpunkte



8.4. On-Off Keying (OOK)

Intensitätsmodulation mit $b = 1$ (Laser an oder aus)

Mittlere Energie pro Symbol: $E_s = \frac{A_{\text{on}}^2}{2}$

8.5. Amplitude Shift Keying (M-ASK)

Für M Stufen mit Abstand Δ gilt: $E[D_I^2] = \frac{\Delta^2(M^2-1)}{12}$

8.6. Phase Shift Keying (PSK)

$$d_I^2 + d_Q^2 = r^2 \quad (\text{meist } r = 1)$$

$$E_s = E[D_I^2 + D_Q^2] \int_0^T |g_s(t)|^2 dt$$

Offset: verhindert harte Übergänge (Nicht durch Null)
Gray-Codierung zwischen benachbarten Symbolen: Fehler in der Symbolerkennung hat nur geringe Bitfehler

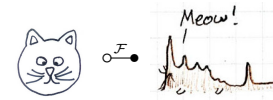
8.6.1. DPSK

Differentielle binäre Phasenmodulation
0: Phase bleibt gleich, 1: Phase ändert sich

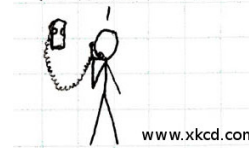
8.7. Quadraturamplitudenmodulation (M-QAM)

Für M Stufen und Abstand Δ : $E[D_I^2 + D_Q^2] = \frac{\Delta^2(M-1)}{6}$

Auch wichtig:



Hi, Dr. Elizabeth?
Yeah, uh... I accidentally took
the Fourier transform of my cat...



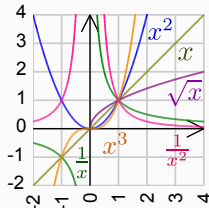
www.xkcd.com

Eigene Notizen:

Anhang

9. Mathematik

9.1. Polynome $P(x) \in \mathbb{R}[x]_n = \sum_{i=0}^n a_i x^i$ vom Grad n



Gerade durch Punkt $P(x_0, y_0)$:
 $y = m(x - x_0) + y_0$

Quadratisch: $y = ax^2 + bx + c$
 Mitternachtsformel für Nullstellen:

$$x_{1/2} = \frac{-b \pm \sqrt{b^2 - 4ac}}{2a}$$

9.2. Exponentialfunktion und Logarithmus

$$a^x = e^{x \ln a} \quad \log_a x = \frac{\ln x}{\ln a} \quad \ln x \leq x - 1$$

$$\ln(x^a) = a \ln(x) \quad \ln\left(\frac{x}{a}\right) = \ln x - \ln a \quad \log(1) = 0$$

9.3. Sinus, Cosinus $\sin^2(x) + \cos^2(x) = 1$

x	0	$\pi/6$	$\pi/4$	$\pi/3$	$\frac{1}{2}\pi$	π	$1\frac{1}{2}\pi$	2π
φ	0°	30°	45°	60°	90°	180°	270°	360°
\sin	0	$\frac{1}{2}$	$\frac{\sqrt{2}}{2}$	$\frac{\sqrt{3}}{2}$	1	0	-1	0
\cos	1	$\frac{\sqrt{3}}{2}$	$\frac{\sqrt{2}}{2}$	$\frac{1}{2}$	0	-1	0	1
\tan	0	$\frac{\sqrt{3}}{3}$	1	$\sqrt{3}$	$\pm\infty$	0	$\mp\infty$	0

Additionstheoreme	Stammfunktionen
$\cos(x - \frac{\pi}{2}) = \sin x$	$\int x \cos(x) dx = \cos(x) + x \sin(x)$
$\sin(x + \frac{\pi}{2}) = \cos x$	$\int x \sin(x) dx = \sin(x) - x \cos(x)$
$\sin 2x = 2 \sin x \cos x$	$\int \sin^2(x) dx = \frac{1}{2}(x - \sin(x) \cos(x))$
$\cos 2x = 2 \cos^2 x - 1$	$\int \cos^2(x) dx = \frac{1}{2}(x + \sin(x) \cos(x))$
$\sin(x) = \tan(x) \cos(x)$	$\int \cos(x) \sin(x) dx = -\frac{1}{2} \cos^2(x)$

$$\sin(x \pm y) = \sin x \cos y \pm \sin y \cos x \quad \sin x = \frac{1}{2i}(e^{ix} - e^{-ix})$$

$$\cos(x \pm y) = \cos x \cos y \mp \sin x \sin y \quad \cos x = \frac{1}{2}(e^{ix} + e^{-ix})$$

9.4. Integralarten

Partielle Integration: $\int u v' = u v - \int u' v$
 Substitution: $\int f(g(x))g'(x) dx = \int f(t) dt$

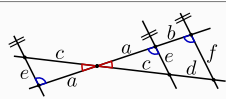
$F(x) - C$	$f(x)$	$f'(x)$
$\frac{1}{q+1} x^{q+1}$	x^q	$q x^{q-1}$
$\frac{2\sqrt{ax^3}}{3}$	\sqrt{ax}	$\frac{a}{2\sqrt{ax}}$
$x \ln(ax) - x$	$\ln(ax)$	$\frac{a}{x}$
$\frac{1}{a^2} e^{ax} (ax - 1)$	$x \cdot e^{ax}$	$e^{ax} (ax + 1)$
$\frac{a^x}{\ln(a)}$	a^x	$a^x \ln(a)$
$-\cos(x)$	$\sin(x)$	$\cos(x)$
$\cosh(x)$	$\sinh(x)$	$\cosh(x)$
$\text{Si}(x)$	$\text{sinc}(x)$	$\frac{x \cos(x) - \sin(x)}{x^2}$
$-\ln \cos(x) $	$\tan(x)$	$\frac{1}{\cos^2(x)}$

$$\int e^{at} \sin(bt) dt = e^{at} \frac{a \sin(bt) + b \cos(bt)}{a^2 + b^2}$$

$$\int x e^{ax^2} dx = \frac{1}{2a} e^{ax^2} \quad \int t^2 e^{at} dt = \frac{(a-1)t^2 + 1}{a^3} e^{at}$$

2^1	2^2	2^3	2^4	2^5	2^6	2^7	2^8	2^{16}
2	4	8	16	32	64	128	256	65536

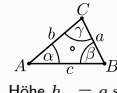
10. Geometrie $a^2 + b^2 = c^2$



Strahlensatz:
 $a : b = c : d \quad \frac{a+b}{c+d} = \frac{a}{c} = \frac{b}{d}$
 $\frac{a}{a+b} = \frac{c}{c+d} = \frac{e}{f}$

Innenwinkelsumme im n -Eck: $(n - 2) \cdot 180^\circ$

Allg. Dreieck $\triangle ABC$ mit Seiten a, b, c und Winkel α, β, γ :



Kosinussatz: $c^2 = a^2 + b^2 - 2ab \cos(\gamma)$

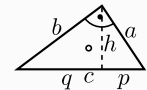
Sinussatz: $\frac{a}{\sin \alpha} = \frac{b}{\sin \beta} = \frac{c}{\sin \gamma}$

Projektionssatz: $c = a \cos \beta + b \cos \alpha$

Höhe $h_c = a \sin \beta = b \sin \alpha$ Fläche $A = \frac{1}{2} h_c c = \frac{1}{2} h_a a$

Schwerpunkt: $x_S = \frac{1}{3}(x_A + x_B + x_C)$ $y_S = \frac{1}{3}(y_A + y_B + y_C)$

Rechtwinkliges Dreieck $\triangle ABC$ mit $\gamma = 90^\circ$ bei C



Pythagoras: $a^2 + b^2 = c^2$

Höhensatz: $h^2 = pq$

Kathetensatz: $a^2 = pc$

$a = c \sin \alpha = c \cos \beta = b \tan \alpha$

Pyramide mit beliebiger Grundfläche G



$V = \frac{1}{3} G \cdot h$

SP: liegt auf h mit $y_S = h/4$

Zylinder/Prisma

$V = G \cdot h$

$M = U \cdot h$



Kreis: $A = \pi r^2$ $U = 2\pi r$

Kugel: $V = \frac{4}{3} \pi r^3$ $O = 4\pi r^2$

Kreissehne: $s = 2r \sin(\alpha/2)$

11. Stochastik

11.1. Der Wahrscheinlichkeitsraum (Ω, \mathbb{F}, P)

Ein Wahrscheinlichkeitsraum (Ω, \mathbb{F}, P) besteht aus

Ergebnismenge $\Omega = \{\omega_1, \omega_2, \dots\}$ **Ergebnis** $\omega_j \in \Omega$

Ereignisalgebra $\mathbb{F} = \{A_1, A_2, \dots\}$ **Ereignis** $A_i \subseteq \Omega$

Wahrscheinlichkeitsmaß $P : \mathbb{F} \rightarrow [0, 1]$ $P(A) = \frac{|A|}{|\Omega|}$

Es gilt: $P(A \cup B) = P(A) + P(B) - P(A \cap B)$

Bedingte Wahrscheinlichkeit für A falls B bereits eingetreten ist:

$$P_B(A) = P(A|B) = \frac{P(A \cap B)}{P(B)}$$

Multiplikationssatz: $P(A \cap B) = P(A|B)P(B) = P(B|A)P(A)$

Erwartungswert: $E[X] = \mu = \sum x_i P(x_i) = \int_{\mathbb{R}} x \cdot f_X(x) dx$

Varianz: $\text{Var}[X] = E[(X - E[X])^2] = E[X^2] - E[X]^2$

Standard Abweichung $\sigma = \sqrt{\text{Var}[X]}$

Covarianz: $\text{Cov}[X, Y] = E[(X - E[X])(Y - E[Y])] = \text{Cov}[Y, X]$

Binomialverteilung (diskret, n Versuche, k Treffer):

$$P(X = k) = \binom{n}{k} p^k (1-p)^{n-k} \quad \mu = np \quad \sigma^2 = np(1-p)$$

Korrelation ist ein Maß für den linearen Zusammenhang von Variablen

Kreuzkorrelation von X und Y : $r_{xy} = \frac{\text{Cov}(X, Y)}{\sigma_X \sigma_Y}$

11.2. Normalverteilung

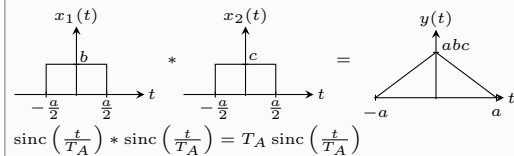
$$f_X(x) = \frac{1}{\sqrt{2\pi\sigma^2}} e^{-\frac{(x-\mu)^2}{2\sigma^2}} \quad x \in \mathbb{R}$$

$$E(X) = \mu \quad \text{Erwartungswert} \quad \text{Var}(X) = \sigma^2 \quad \text{Varianz} \quad \varphi_X(\omega) = e^{j\omega\mu - \frac{\omega^2\sigma^2}{2}} \quad \text{Charakt. Funktion}$$

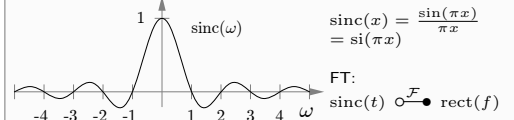
12. Signale

12.1. Faltung von Signalen

$$x(t) * h(t) = h(t) * x(t) = \int_{-\infty}^{\infty} x(\tau) \cdot h(t - \tau) d\tau$$



12.2. sinc-Signal



13. Fouriertransformation

$$x(t) \overset{\mathcal{F}}{\longleftrightarrow} X(f) := \int_{-\infty}^{\infty} x(t) \exp(-j2\pi ft) dt$$

13.1. Eigenschaften der Fouriertrafo

Linearität: $\alpha x(t) + \beta g(t) \overset{\mathcal{F}}{\longleftrightarrow} \alpha X(f) + \beta G(f)$

Zeitverschiebung: $x(t - \tau) \overset{\mathcal{F}}{\longleftrightarrow} e^{-j2\pi f\tau} X(f)$

Frequenzversch. $e^{j2\pi f_0 t} \overset{\mathcal{F}}{\longleftrightarrow} X(f - f_0)$

Vertauschung: $U^*(t) \overset{\mathcal{F}}{\longleftrightarrow} u^*(f)$

Stauchung $x(ct) \overset{\mathcal{F}}{\longleftrightarrow} \frac{1}{|c|} X\left(\frac{f}{c}\right)$

Ableitung $x^{(n)}(t) \overset{\mathcal{F}}{\longleftrightarrow} (j2\pi f)^n X(f)$

Integral $\int_{-\infty}^t x(\tau) d\tau \overset{\mathcal{F}}{\longleftrightarrow} \left(\frac{1}{j2\pi f} + \frac{1}{2} \delta(f)\right) X(f)$

Faltung: $(x * g)(t) \overset{\mathcal{F}}{\longleftrightarrow} X(f) \cdot G(f)$

Parseval: $\int_{-\infty}^{\infty} u_1(t) \cdot u_2^*(t) dt = \int_{-\infty}^{\infty} U_1(f) \cdot U_2^*(f) df$

Energie: $E = \int_{-\infty}^{\infty} |u(t)|^2 dt = \int_{-\infty}^{\infty} |U(f)|^2 df$

Zusammenhang zwischen geraden und ungeraden Signalanteilen:

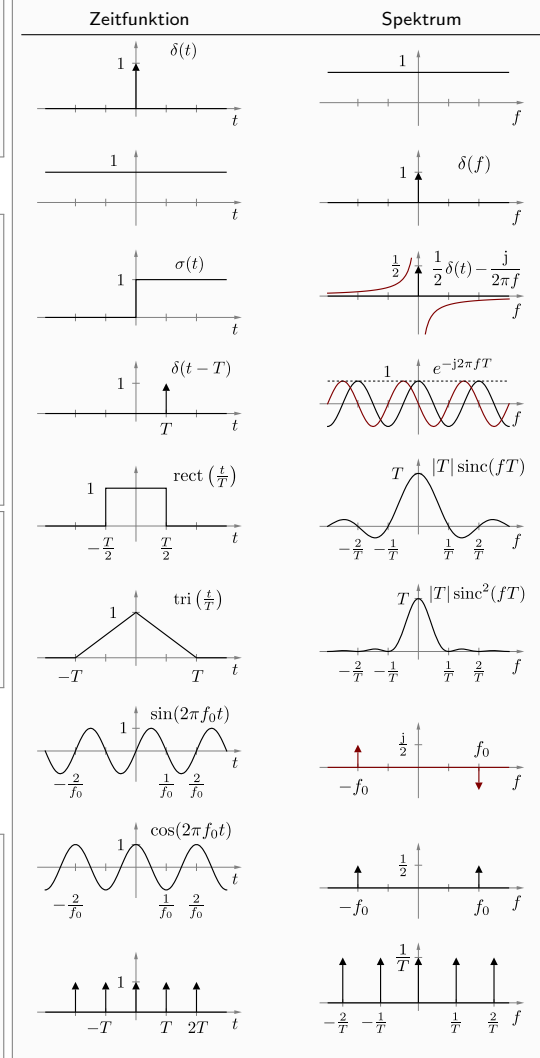
$$x(t) = g + u + jg + ju$$

$$X(f) = G + U + jG + jU$$

$x(t) \overset{\mathcal{F}}{\longleftrightarrow} X(f) \overset{\mathcal{F}}{\longleftrightarrow} x(-t) \overset{\mathcal{F}}{\longleftrightarrow} X(-f)$

Bei periodischen Signalen: Fourierreihen!

13.2. Wichtige Fouriertransformationen



13.3. Weitere Paare

$f(t)$	$F(\omega)$	$f(t)$	$F(\omega)$
$ t^n $	$\frac{2n!}{(i\omega)^{n+1}}$	$\text{sinc}\left(\frac{t}{T}\right)$	$T \text{rect}(fT)$
t^n	$2\pi i^n \delta^{(n)}(\omega)$	$\frac{t^{n-1}}{(n-1)!} e^{-at} u(t)$	$\frac{1}{(a+i\omega)^n}$
		$\exp(-\alpha t)$	$\frac{1}{i2\pi f + \alpha}$